

On note $I = [0; 1]$.

I) Utilisation topologique des courbes

A) Connexité par arcs et connexité

Sait (E, d) un espace métrique.

Def 1: Un chemin entre x et y dans E est une application continue $\delta: [0, 1] \rightarrow E$ vérifiant $\delta(0) = x$ et $\delta(1) = y$.

Ex 2: Si E est un espace vectoriel normé, $t \mapsto (1-t)x + ty$ est un chemin entre $x, y \in E$.

Def 2: (E, d) est connexe par arcs si pour tout $(x, y) \in E^2$, il existe un chemin entre x et y dans E .

Ex 3: les espaces vectoriels normés, et plus généralement convexes, sont connexes par arcs.

Thm 4: Si (E, d) est connexe par arcs, (E, d) est connexe.

Rem 5: Ceci donne une façon en général plus simple de prouver qu'un espace est connexe.

Ex 6: Pour $n \in \mathbb{N}^*$, $GL_n(\mathbb{C})$ est connexe (par arcs)

App 7: L'ensemble matriciel esp. $GL(\mathbb{C}) \rightarrow GL(\mathbb{C})$ est biconnexe.

Ex 8: L'ensemble des formes quadratiques réelles non dégénérées de signature $(p; q)$ est connexe.

B) Composantes connexes par arcs

Prop - def 9: La relation binaire: $\forall x, y \in E, x \sim y$ si et seulement si il existe un chemin entre x et y ,

est une relation d'équivalence.

Rem 10: les classes d'équivalence sont les composantes connexes par arcs. Elles ne coïncident pas toujours avec les composantes convexes. C'est le cas par exemple si ce sont des ouverts dans E munis d'une structure d'espace vectoriel normé.

Prop 11: Si E est un espace vectoriel normé tel que $E = \bigcup_{j \in J} U_j$ avec U_j ouvert et connexe par arcs alors les U_j sont exactement les composantes connexes par arcs.

App 12: Les composantes connexes par arcs, et donc connexes, des formes quadratiques réelles sont celles de même signature.

Thm 13: Sait $f: (E, d) \rightarrow (F, g)$ un homéomorphisme entre deux espaces métriques. Alors f échange les composantes connexes par arcs.

App 14: \mathbb{R}^2 n'est pas homéomorphe à \mathbb{R} .

II) Chemins en analyse complexe

Sait $\Omega \subset \mathbb{C}$ ouvert.

A) Recherche de primitives

Sait $\gamma: [0; 1] \rightarrow \Omega$ un chemin. A partir de maintenant, tous les chemins seront considérés différents. On parle alors de courbes lisses.

Def 15: Sait $f \in C^1(\Omega)$. On définit l'intégrale de f le long de γ par $\int_\gamma f(z) dz = \int_0^1 f(\gamma(t)) \gamma'(t) dt$.

Ex 16: Si $E(a, \omega)$, $a \in \mathbb{C}$, $\omega > 0$, désigne la courbe paramétrée par: $\forall t \in [0, 1], \gamma(t) = a + re^{2\pi i t}$, alors $\int_{[0, 1]} \frac{dz}{z} = 2\pi i$

Def 17: On dit que γ est un lacet si $\gamma(0) = \gamma(m)$. Si $a \in \Omega$, on définit l'indice de γ par rapport à a comme : $\text{Ind}_\gamma(a) = \frac{1}{2\pi i} \int_{\gamma} \frac{dz}{z-a}$

Prop 18: Si γ est un lacet, $\forall a \in \Omega$, $\text{Ind}_\gamma(a) \in \mathbb{Z}$.

Rém 19: L'indice correspond à l'ordre d'entourage au nombre de fois que l'axe la contourne autour de a .

Thm 20: f possède une primitive sur Ω si et seulement si pour tout lacet γ de Ω , $\int_{\gamma} f(z) dz = 0$.

App 21: Il n'y a pas de détermination continue du logarithme sur \mathbb{C}^* .

Thm 22: Si Ω est convexe, f possède une primitive si et seulement si pour tout triangle $\Delta \subset \Omega$, $\int_{\partial \Delta} f(z) dz = 0$

Thm 23: (de Cauchy-Goursat) Si f est holomorphe sur $\Omega \setminus \{c\}$ pour un certain $c \in \Omega$ alors pour tout triangle $\Delta \subset \Omega$, $\int_{\partial \Delta} f(z) dz = 0$.

Cor 24: Si Ω est convexe, que γ est un lacet et $f \in \mathcal{H}(\Omega)$, alors $\forall z \in \Omega \setminus \text{Im}(\gamma)$, $f(z) \text{Ind}_\gamma(z) = \frac{1}{2\pi i} \int_{\gamma} \frac{f(\xi)}{\xi - z} d\xi$

(Formule de Cauchy)

App 25: Toute fonction holomorphe sur Ω est analytique.

Cor 26: Toute fonction intérieure bornée est constante.

App 27: (Théorème de l'Algorithme de Gauss) Toute polynôme non constant de \mathbb{C} admet une racine.

B) Calcul d'intégrales

Def 28: Soit $a \in \Omega$ et $f \in \mathcal{H}(\Omega \setminus \{a\})$. a est un pôle d'ordre $m \in \mathbb{N}^*$ de f si il existe $a_1, \dots, a_m \in \mathbb{C}$ tels

que $g \mapsto f(g) - \sum_{k=1}^m \frac{a_k}{(g-a)^k}$ se prolonge de façon holomorphe en a . a_1 est appelé résidu de f en a , noté $\text{Res}(f, a)$

Thm 29: (des résidus) Si Ω est convexe, que $a_1, \dots, a_m \in \Omega$ et que $f \in \mathcal{H}(\Omega \setminus \{a_1, \dots, a_m\})$ admet un pôle en a_1, \dots, a_m alors pour tout lacet γ de Ω tel que $\text{Im}(\gamma) \cap \{a_1, \dots, a_m\} = \emptyset$, alors :

$$\int_{\gamma} f(z) dz = 2\pi i \sum_{k=1}^m \text{Ind}_\gamma(a_k) \text{Res}(f, a_k)$$

Rém 30: Ceci donne un moyen très puissant de calculer des intégrales.

App 31: (DEV 1) (Formule des compléments) Soit $\forall g \in \mathbb{C}$, $\text{Res}(g, 0) = \int_0^{2\pi} e^{g-1} e^{it} dt$ la fonction Γ d'Euler. Alors, $\forall g \in \mathbb{C}, 0 \leq \operatorname{Re} g \leq 1, \Gamma(g) \delta(1-g) = \frac{\pi i}{\sin(\pi g)}$

III) Recherche de solutions d'équations différentielles

A) Méthode des caractéristiques

On s'intéresse ici à l'équation dites de transport :

$$(P) \begin{cases} \frac{\partial u}{\partial t} + c(x,t) \frac{\partial u}{\partial x} = 0 & \text{sur } \mathbb{R}^2 \text{ où } N \in C^1(\mathbb{R}) \\ u(x,0) = u_0(x) \end{cases}$$

Supposons dans un premier temps c constant.

Thm 32: Si c est constant, la solution de (P) est donnée par : $u(x,t) = u_0(x-ct)$

Thm 33: Existe un constante sur les courbes dites caractéristiques : $E \mapsto (\alpha + ct; E)$ à x fixé. Comme ci-dessous, cela permet de définir u (Voir Fig 1). Cette idée se généralise dans le cas où c est non constant.

Méth 34: On définit les courbes caractéristiques de (P) par : $\forall q \in \mathbb{R}$,

Ex 34: Soit $C_\xi = \{(x(t); \xi), t \in \mathbb{R} \mid x'(t) = c(x(t); \xi), x(0) = \xi\}$. Si possible, on détermine ces courbes et on remarque que la solution u est constante sur ces courbes. Pour trouver $u(x, t)$, il suffit alors de trouver $\xi \in \mathbb{R}$ tel que $(x; \xi) \in C_\xi$. Alors $u(x, t) = u_0(\xi)$.

Ex 35: Soit $c(x, t) = \frac{x}{1+t^2}$, $C_\xi = \{x \exp(-\arctan(\xi)) \mid t, x \in \mathbb{R}\}$
donc $u(x, t) = u_0(x \exp(-\arctan(\xi)))$

Ex 36: Dans le cas $c(x, t) = x^2 - 1$, les solutions du problème de Cauchy ne sont pas toutes globales. On obtient une solution définie sur une partie $D \subset \mathbb{R}^2$.

Rép 37: lorsque la résolution du problème de Cauchy est difficile, on peut demander à un ordinateur de tracer les courbes caractéristiques. Connaissons u_0 , on peut ainsi retrouver u graphiquement en suivant les courbes.

B) Cas d'un système autonome : le modèle de Lotka-Volterra

On considère un système autonome $\begin{cases} y' = f(y) \\ y(0) = y_0 \end{cases}$ satisfaisant les hypothèses de Cauchy-Lipschitz où $f: \mathbb{R}^2 \rightarrow \mathbb{R}^2$.

Def 38: Une intégrale première du système est une application $H: \mathbb{R}^n \rightarrow \mathbb{R}$ telle que $t \mapsto H(Y(t))$ soit constant.

Rép 39: Avoir des informations sur les lignes de niveaux de H permet ainsi d'en savoir sur la solution maximale.

Ex 40: On considère le modèle de Lotka-Volterra :

$$\begin{cases} x' = ax - bxy \\ y' = -cy + dxz \end{cases} \text{ avec } a, b, c, d > 0. \text{ Alors } (x; y) \in \mathbb{R}_+^2 \mapsto$$

$dx + by - ch(y) - arcth(y)$ est une intégrale première du système.

App 41: (PDR 2) Les solutions maximales de ce système sont globales et périodiques. On peut ainsi-en déduire leur allure (Voir Fig 2)

IV) Utilisation en géométrie différentielle

Soit $M \subset \mathbb{R}^n$ une sous-variété de dimension $p \in \mathbb{N}^*$.
Def 42: On définit l'espace tangent de M en $m \in M$ par : $T_m(M) = \{v \in \mathbb{R}^n \mid \exists \varphi_0, \varphi_1:]-\epsilon, \epsilon[\rightarrow \mathbb{R}^n \text{ C}^1 \text{ avec } \varphi(0) = m, \varphi'(0) = v\}$

Thm 43: Pour tout $m \in M$, $T_m(M)$ est un espace vectoriel de dimension p .

Cor 44: Soient $m \in M$ et $U \subset \mathbb{R}^n$ ouvert contenant m et $g: U \rightarrow \mathbb{R}^{n-p}$ une submersión telle que $U \cap M = g^{-1}(0)$.

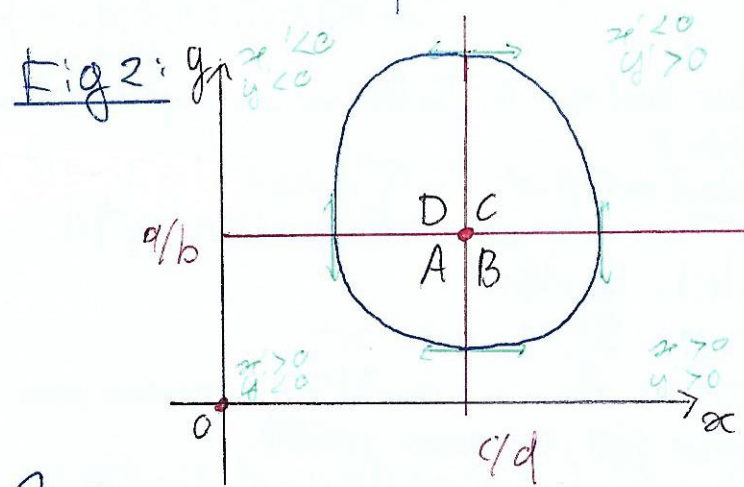
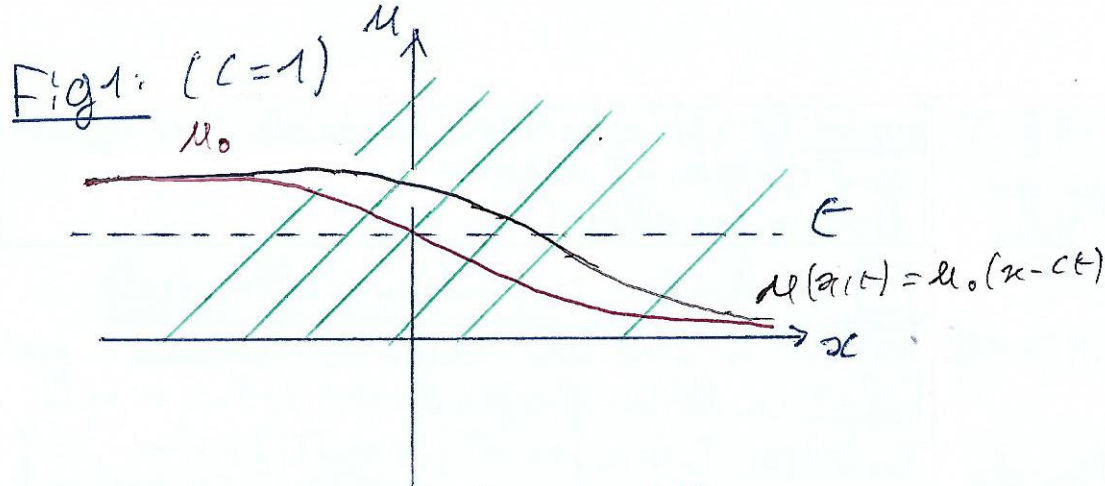
Alors $T_m(M) = \ker dg_m$.

Ex 45: Si $M = \mathbb{S}^1$, $T_m(M) = m^\perp$.

Rép 46: Thm 43 donne une condition nécessaire pour qu'une partie soit une sous-variété.

App 47: Dans \mathbb{R}^2 , $\{(x; y) \in \mathbb{R}^2 \mid xy = 0\}$ n'est pas une sous-variété.

App 48: (Trajectoire des extrêmes libres) Soient U ouvert et $f, g_1, \dots, g_k: U \rightarrow \mathbb{R}^n$. Soit $M = \{w \in U \mid g_i(w) = 0 \forall i \in \{1, \dots, k\}\}$. Si $b|_M$ admet un extrême local en $m \in M$, et que $\forall x \in M$, $(dg_1|_{m_x}, \dots, dg_k|_{m_x})$ est libre, alors $\exists! (\lambda_1, \dots, \lambda_k) \in \mathbb{R}^k$, $df_m = \sum_{i=1}^k \lambda_i dg_i|_m$.



Références:

- ① Topologie, Queffélec [1]
- ② Analyse Complexée pour la L3, Tchuvel [2]
- ③ Analyse microlocale des EDP, Di Menza [3]
- ④ Introduction aux sous-variétés, La Fauchard [4]
- ⑤ Calcul différentiel, Aver [5]
- ⑥ Analyse 4, FG N [6]
- ⑦ Analyse, Gaerden [7]